

Математическая модель отображает кинетику процесса полимеризации изопрена с учетом побочной реакции олигомеризации.

В модели учитывается тепловыделение и перемешивание среды. На основании данных в аналитическом обзоре, где рассматривается статический режим работы реактора, разработана ММ динамики процесса, проводимого в двух реакторах.

При разработке математической модели приняты следующие допущения:

- принята модель идеального смешения,
- используется два реактора,
- принята средняя температура в реакторе, $T_{ср}$ и средняя концентрация мономера, полимера и димера в аппарате, $m_{ср}$, $p_{ср}$ и $d_{ср}$ соответственно.

Математическая модель программного комплекса отображает кинетику процесса полимеризации изопрена с учетом побочной реакции олигомеризации. В модели учитываются тепловыделение и перемешивание среды.

В модели учитывается, что температура распределена по высоте реактора, а значит и вязкость по Муни и концентрация полимера, зависящие от температуры различны в разных точках реактора. Для того, чтобы воспользоваться моделью идеального смешения, в выражениях для скорости реакции полимеризации g_i и величины внешнего теплосъема Q_i введены среднеинтегральные значения температуры $T_{иср}$, концентрации полимера $p_{ср}$ и мономера $m_{иср}$.

Зависимости среднеинтегральных значений T_i^{cp} (1) и m_i^{cp} (2) от расхода реакционной смеси G были найдены с помощью диффузионной модели в виде:

$$T_i^{cp} = \frac{T_i + A_i T_{i-1}}{1 + A_i}, \quad (1)$$

$$m_i^{cp} = \frac{m_i + A_i m_{i-1}}{1 + A_i}, \quad (2)$$

где i – номер аппарата, $i=1,2$.

Модель включает расчет скоростей реакций полимеризации r_i (3) и образования димеров r_{di} (6), материального баланса по компонентам (7-10), температуры (11) и показателей качества продукта (12-15).

$$r_i = k \cdot n_0 \cdot \sqrt{m_i^{cp}} \exp\left(\frac{-E}{R \cdot T_i^{cp}}\right), \quad (3)$$

где n_0 – условная концентрация активных центров.

$$n_0 = \begin{cases} \frac{\alpha G_k}{G - \beta}, & \frac{\alpha G_k}{G} > \beta, \\ 0, & \frac{\alpha G_k}{G} \leq \beta. \end{cases}, \quad (4)$$

$$k_i = k_i \cdot \exp\left\{-[k_1 \cdot (m_0 - m_i^{cp})]^{k_2}\right\}, \quad (5)$$

$$r_{di} = \frac{G_k}{G} \cdot (k_{d1} \cdot h_i + k_{d2}) \cdot m_i^{cp} \cdot \exp\left(-\frac{E_d}{R \cdot T_i^{cp}}\right), \quad (6)$$

Уравнения материального баланса мономера m_i^{cp} (7), полимера p_i^{cp} (8), димера d_i^{cp} (9), водорода h_i (10):

$$\frac{dm_i^{cp}}{dt} = \frac{G}{V \cdot \rho} \cdot (m_{i-1} - m_i^{cp}) - r_i, \quad (7)$$

$$\frac{dp_i^{cp}}{dt} = \frac{G}{V \cdot \rho} \cdot (p_{i-1} - p_i^{cp}) + r_i, \quad (8)$$

$$\frac{dd_i^{cp}}{dt} = \frac{G}{V \cdot \rho} \cdot (d_{i-1} - d_i^{cp}) + r_{di}, \quad (9)$$

$$\frac{dh_i}{dt} = \frac{G}{V \cdot \rho} \cdot (h_{i-1} - h_i) - k_h \cdot h_i, \quad (10)$$

Уравнение теплового баланса:

$$\frac{dT_i^{cp}}{dt} = \frac{G}{V \cdot \rho} \cdot (T_{i-1} - T_i^{cp}) + \frac{q \cdot r_i}{c_p \cdot \rho} - \frac{u \cdot S \cdot (T_i^{cp} - T_{xл})}{c_p \cdot V}, \quad (11)$$

Расчет показателей качества: вязкость по Муни Vm (12-13), пластичность по Карреру Pl (14), потери массы Pm (15).

$$Vm_i = \lambda \cdot (m_i^{cp})^\gamma \cdot \exp\left(\frac{H}{T_i^{cp}}\right), \quad (12)$$

где

$$\lambda = \frac{\lambda_0}{1+k_h \cdot h + k_\psi \cdot \psi_0 + k_g \cdot g_k} , \quad (13)$$

$$Pl_i = \frac{P_0}{V \cdot m_i^{cp}} \cdot \exp\left(-\frac{B}{T_i^{cp}}\right) , \quad (14)$$

$$Pm_i = \frac{0.1 \cdot d_i}{m_i^{cp}} + f , \quad (15)$$

Для решения дифференциальных уравнений материального и теплового баланса используется метод Рунге-Кутты, основным достоинством которого является повышенная точность вычислений.

Последовательность вычислений по методу Рунге-Кутты:

1) Разбиваем временной интервал $[0, t]$ на n равных частей точками

$$t_i = t_0 + ih \ (i = 1, 2..n) ,$$

где $h = \frac{t}{n}$;

$$t_0 = 0;$$

$$t_n = t.$$

2) Находим для каждого i ($i = 1, 2..n$) значения:

$$k_1^{(i)} = hf(t_i, y_i) ,$$

$$k_2^{(i)} = hf\left(t_i + \frac{h}{2}, y_i + \frac{k_1^{(i)}}{2}\right) ,$$

$$k_3^{(i)} = hf\left(t_i + \frac{h}{2}, y_i + \frac{k_2^{(i)}}{2}\right) ,$$

$$k_4^{(i)} = hf\left(t_i + h, y_i + k_3^{(i)}\right) .$$

3) Вычисляем:

$$\Delta y_i = \frac{1}{6} \left(k_1^{(i)} + 2k_2^{(i)} + 2k_3^{(i)} + k_4^{(i)} \right)$$

Определяем последовательные значения y_i ($i = 1, 2..n$) искомой функции $y = y(x)$:

$$y_{i+1} = y_i + \Delta y_i$$

Блок-схема алгоритма решения математической модели представлена на рисунке

1.

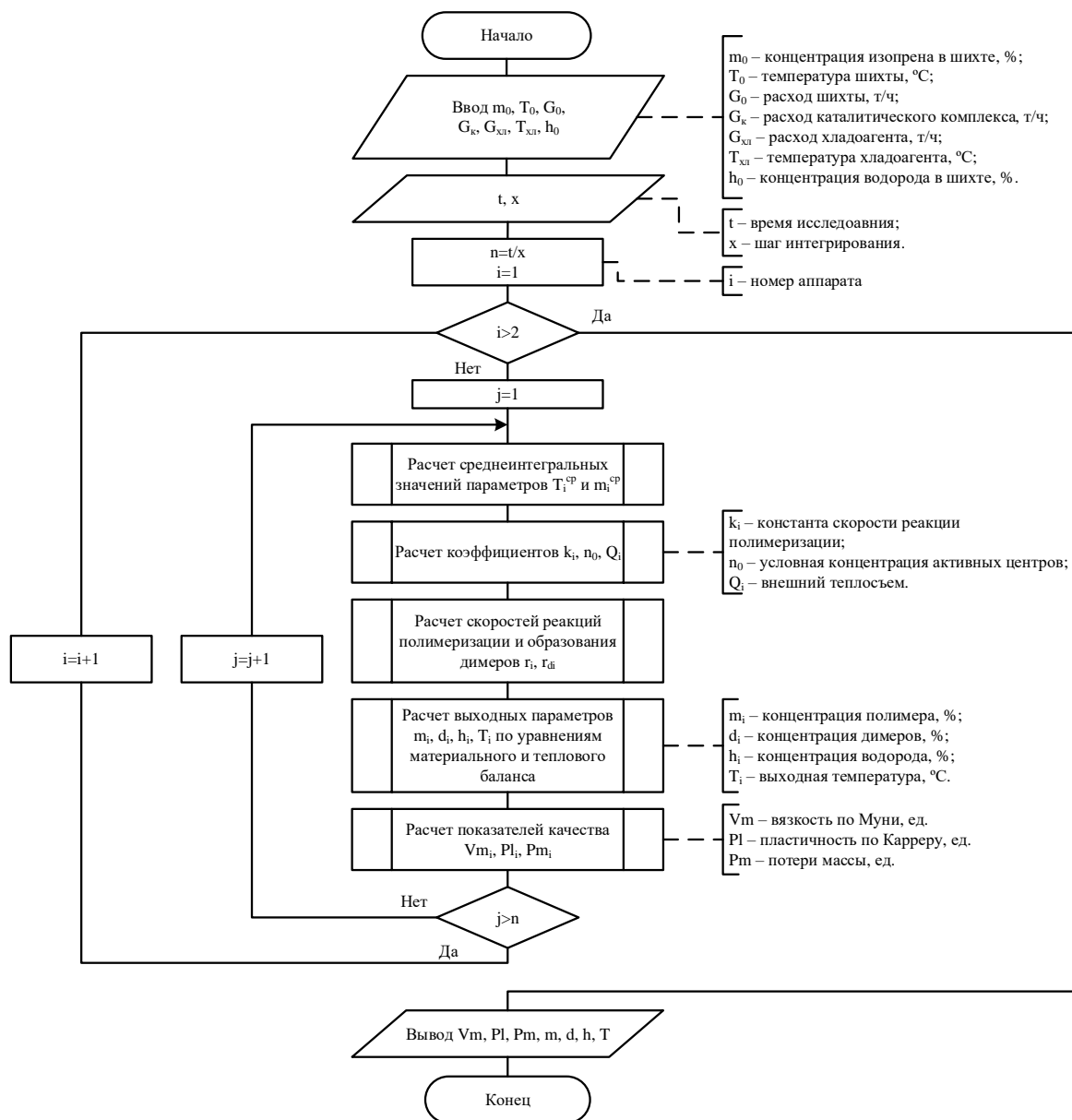


Рисунок 1 – Блок-схема алгоритма решения математической модели